

1. 緒言 　これまで、河川や海洋における流木の諸現象を数値的に解析する場合、一般には底質は固定されているものと考え、木の流動のみが取扱われてきた。ここでは、平均流を用いた底質の移動問題を目的とした、空間方向に有限要素法、時間方向には逐次時間積分法を用いた解析法を提案する。

2. 基礎方程式と有限要素法 　図1の座標系における通常の浅海長波方程式において、流木を次のように仮定する。¹⁾

$$U_i = U_0 + \frac{\gamma}{h} U_{0i} + U_{1i} \quad , \quad \xi = \xi_0 + \xi_1 \quad (1)$$

ここに、添字0は底面を固定して解いたときの収束解であり、添字1は底質の移動によるものである。そこで、(1)式の関係を用いると、基礎方程式は総和規約を用いて以下のように表わすことができる。

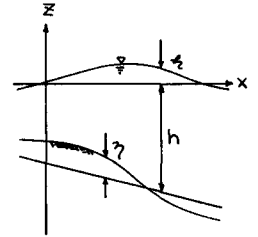


図1 座標系

$$U_{1i} + \frac{\gamma}{h} U_{0i} + U_{0j} U_{1i,j} + U_{1j} U_{0i,j} + U_{1j} U_{1i,j} + U_{0j} (\frac{\gamma}{h} U_{0i})_{,j} + \frac{\gamma}{h} U_{0j} U_{0i,j} + \frac{\gamma}{h} U_{0j} U_{1i,j} + U_{1j} (\frac{\gamma}{h} U_{0i})_{,j} + \frac{\gamma}{h} U_{0j} (\frac{\gamma}{h} U_{0i})_{,j} + g \xi_{1,i} + \frac{T_{xi}}{\rho D} = 0 \quad (2)$$

$$\xi_{1,i} - \gamma + \{ (h + \xi_0) U_{1j} \}_{,i} + \{ (\xi_1 - \gamma) U_{0j} \}_{,i} + \{ (\xi_1 - \gamma) U_{1j} \}_{,i} + \{ (h + \xi_0) \frac{\gamma}{h} U_{0j} \}_{,i} + \{ (\xi_1 - \gamma) \frac{\gamma}{h} U_{0j} \}_{,i} = 0 \quad (3)$$

また、底質の連続方程式も同様に

$$\dot{\gamma} + \frac{1}{1-\lambda} \mathcal{D} \left(\frac{U_i}{W} \gamma_{,i} \right) + \frac{1}{1-\lambda} \left[T_{iu} \{ (U_0 + U_1)_{,i} + \gamma (\frac{U_0}{h})_{,i} \} + T_{iw} \{ (V_0 + V_1)_{,i} + \gamma (\frac{V_0}{h})_{,i} \} \right] = 0 \quad (4)$$

ここに、 $W^2 = U^2 + V^2$, $\mathcal{D} = \xi_0 + \xi_1 + h - \gamma$, $\mathcal{D} = \frac{1}{h} (U_0 \frac{\partial T}{\partial U} + V_0 \frac{\partial T}{\partial V})$, $T_{xu} = \frac{U}{W} \frac{\partial T}{\partial U} + \frac{V^2}{W^3} T$

$$T_{xv} = \frac{U}{W} \frac{\partial T}{\partial V} - \frac{UV}{W^3} T \quad , \quad T_{ru} = \frac{U}{W} \frac{\partial T}{\partial U} - \frac{UV}{W^3} T \quad , \quad T_{rv} = \frac{V}{W} \frac{\partial T}{\partial V} + \frac{U^2}{W^3} T$$

以上の基礎方程式において、 U は流速、 h は平均水深、 ξ は水位上昇、 γ は底面上昇、 λ は底質の空隙率、 T は流砂量である。尚、流砂量公式としてはメイヤー・ピーターの式を用いることとする。

有限要素法を適用するにあたり、基礎方程式にそれぞれ、重み付き残差法を用いて離散化し、解析領域を任意の大きさの三角形要素に分割したのに対して、一次の内挿関数を用いることにすれば、次のような有限要素方程式を得る。

$$M_{\alpha\beta} U_{1\alpha} + L_{\alpha\beta} \left(\frac{\gamma}{h} \right)_{\beta} U_{0\alpha} + K_{1\alpha\beta j} U_{0j} U_{1\alpha} + K_{1\alpha\beta j} U_{1j} U_{0\alpha} + K_{1\alpha\beta j} U_{1j} U_{1\alpha} + K_{2\alpha\beta \delta j} U_{0j} \left(\frac{\gamma}{h} \right)_{\delta} U_{0\alpha} + K_{2\alpha\beta \delta j} \left(\frac{\gamma}{h} \right)_{\delta} U_{0j} U_{0\alpha} + K_{2\alpha\beta \delta j} \left(\frac{\gamma}{h} \right)_{\delta} U_{0j} U_{1\alpha} + K_{2\alpha\beta \delta j} U_{1j} \left(\frac{\gamma}{h} \right)_{\delta} U_{0\alpha} + K_{2\alpha\beta \delta j} \left(\frac{\gamma}{h} \right)_{\delta} U_{1j} \left(\frac{\gamma}{h} \right)_{\delta} U_{0\alpha} + H_{\alpha\beta} \xi_{1,\alpha} + B_{\alpha\beta} \left(\frac{T_{xi}}{D} \right)_{\beta} = 0 \quad (5)$$

$$M_{\alpha\beta} (\xi_{1,\alpha} - \gamma_{\alpha}) + C_{1\alpha\beta i} (h + \xi_{00}) U_{1i} + C_{1\alpha\beta i} (\xi_{10} - \gamma_{\alpha}) U_{1i} + C_{1\alpha\beta i} (\xi_{10} - \gamma_{\alpha}) U_{0i} + C_{2\alpha\beta \delta i} (h + \xi_{00}) \left(\frac{\gamma}{h} \right)_{\delta} U_{0i} + C_{2\alpha\beta \delta i} (\xi_{10} - \gamma_{\alpha}) \left(\frac{\gamma}{h} \right)_{\delta} U_{0i} = 0 \quad (6)$$

$$M_{\alpha\beta} \gamma_{\alpha} + F_{\alpha\beta \delta i} \left(\frac{U_i}{W} \right)_{\delta} \gamma_{\delta} + N_{\alpha\beta i} T_{iu} (U_0 + U_1) + Z_{\alpha\beta \delta i} T_{iu} \gamma_{\delta} \left(\frac{U_0}{h} \right)_{\delta} + N_{\alpha\beta i} T_{iu} (V_0 + V_1) + Z_{\alpha\beta \delta i} T_{iu} \gamma_{\delta} \left(\frac{V_0}{h} \right)_{\delta} = 0 \quad (7)$$

3. 時間方向への離散化 　時間方向へは二段階ラウッス・ウェンドロフ法を用いて離散化する。

< 第1段階 > $\bar{M}_{\alpha\beta} U_{1\alpha}^{n+\frac{1}{2}} = \hat{M}_{\alpha\beta} U_{1\alpha}^n - \frac{\Delta t}{2} \left[K_{1\alpha\beta j} U_{0j} U_{1\alpha}^n + K_{1\alpha\beta j} U_{1j} U_{0\alpha}^n + K_{1\alpha\beta j} U_{1j} U_{1\alpha}^n + K_{2\alpha\beta \delta j} U_{0j} \left(\frac{\gamma}{h} \right)_{\delta} U_{0\alpha}^n + K_{2\alpha\beta \delta j} \left(\frac{\gamma}{h} \right)_{\delta} U_{0j} U_{0\alpha}^n + K_{2\alpha\beta \delta j} \left(\frac{\gamma}{h} \right)_{\delta} U_{0j} U_{1\alpha}^n + K_{2\alpha\beta \delta j} U_{1j} \left(\frac{\gamma}{h} \right)_{\delta} U_{0\alpha}^n + K_{2\alpha\beta \delta j} \left(\frac{\gamma}{h} \right)_{\delta} U_{1j} \left(\frac{\gamma}{h} \right)_{\delta} U_{0\alpha}^n + H_{\alpha\beta} \xi_{1,\alpha}^n + B_{\alpha\beta} \left(\frac{T_{xi}}{D} \right)_{\alpha} \right] + L_{\alpha\beta} \left\{ \left(\frac{\gamma}{h} \right)_{\alpha}^n - \left(\frac{\gamma}{h} \right)_{\alpha}^{n-\frac{1}{2}} \right\} U_{0\alpha}^n$

$$\bar{M}_{\alpha\beta} (\xi_{1,\alpha}^{n+\frac{1}{2}} - \gamma_{\alpha}^{n+\frac{1}{2}}) = \hat{M}_{\alpha\beta} (\xi_{1,\alpha}^n - \gamma_{\alpha}^n) - \frac{\Delta t}{2} \left[C_{1\alpha\beta i} (h + \xi_{00}) U_{1i}^n + C_{1\alpha\beta i} (\xi_{10} - \gamma_{\alpha}^n) U_{1i}^n + C_{1\alpha\beta i} (\xi_{10} - \gamma_{\alpha}^n) U_{0i}^n + C_{2\alpha\beta \delta i} (h + \xi_{00}) \left(\frac{\gamma}{h} \right)_{\delta} U_{0i}^n + C_{2\alpha\beta \delta i} (\xi_{10} - \gamma_{\alpha}^n) \left(\frac{\gamma}{h} \right)_{\delta} U_{0i}^n \right]$$

$$\bar{M}_{\alpha\beta} \gamma_{\alpha}^{n+\frac{1}{2}} = \hat{M}_{\alpha\beta} \gamma_{\alpha}^n - \frac{\Delta t}{2} \left[F_{\alpha\beta \delta i} \left(\frac{U_i}{W} \right)_{\delta}^n \gamma_{\delta}^n + N_{\alpha\beta i} T_{iu}^n (U_0 + U_1) + Z_{\alpha\beta \delta i} T_{iu}^n \gamma_{\delta}^n \left(\frac{U_0}{h} \right)_{\delta} + N_{\alpha\beta i} T_{iu}^n (V_0 + V_1) + Z_{\alpha\beta \delta i} T_{iu}^n \gamma_{\delta}^n \left(\frac{V_0}{h} \right)_{\delta} \right]$$

< 第 2 段階 > $\bar{M}_{00} U_{10i}^{n+1} = \tilde{M}_{00} U_{10i}^n - \Delta t [K_{1000j} U_{00j} U_{10i}^{n+1} + K_{1000j} U_{10j} U_{00i}^{n+1} + K_{1000j} U_{10j} U_{10i}^{n+1} + K_{2000j} U_{00j} (\frac{\eta}{h})_{0i}^{n+1} U_{00i}^{n+1} + K_{2000j} (\frac{\eta}{h})_{0i}^{n+1} U_{00j} U_{00i}^{n+1} + K_{2000j} U_{00j} (\frac{\eta}{h})_{0i}^{n+1} U_{10i}^{n+1} + K_{3000j} U_{00j} (\frac{\eta}{h})_{0i}^{n+1} U_{00i}^{n+1} + K_{3000j} U_{00j} (\frac{\eta}{h})_{0i}^{n+1} U_{10i}^{n+1} + H_{00i} \xi_{0i}^{n+1} + B_{00i} (\frac{\xi}{D})_{0i}^{n+1}] + L_{00i} \{ (\frac{\eta}{h})_{0i}^{n+1} - (\frac{\eta}{h})_{0i}^n \} U_{00i}^n$

$\bar{M}_{00} (\xi_{0i}^{n+1} - \eta_{0i}^{n+1}) = \tilde{M}_{00} (\xi_{0i}^n - \eta_{0i}^n) - \Delta t [C_{1000i} (h_{0i} + \xi_{00i}) U_{10i}^{n+1} + C_{1000i} (\xi_{10i} - \eta_{10i}^{n+1}) U_{10i}^{n+1} + C_{1000i} (\xi_{10i} - \eta_{10i}^{n+1}) U_{00i}^{n+1} + C_{2000i} (h_{0i} + \xi_{00i}) (\frac{\eta}{h})_{0i}^{n+1} U_{00i}^{n+1} + C_{2000i} (\xi_{10i} - \eta_{10i}^{n+1}) (\frac{\eta}{h})_{0i}^{n+1} U_{00i}^{n+1}]$

$\bar{M}_{00} \eta_{0i}^{n+1} = \tilde{M}_{00} \eta_{0i}^n - \Delta t [F_{0000i} C_{00i} (\frac{U_{10i}^{n+1}}{W})_{0i}^{n+1} \eta_{0i}^{n+1} + N_{0000i} T_{00i}^{n+1} (U_{00i}^{n+1} + U_{10i}^{n+1}) + Z_{0000i} T_{00i}^{n+1} \eta_{0i}^{n+1} (\frac{U_{00i}^{n+1}}{h})_{0i}^{n+1} + N_{0000i} T_{00i}^{n+1} (U_{00i}^{n+1} + U_{10i}^{n+1}) + Z_{0000i} T_{00i}^{n+1} \eta_{0i}^{n+1} (\frac{U_{00i}^{n+1}}{h})_{0i}^{n+1}]$

ここに、 \bar{M}_{00} は集中化質量マトリックスであり、 \tilde{M}_{00} は(8)式のように表わす。

$$\tilde{M}_{00} = (1 - e) M_{00} + \bar{M}_{00} \quad (0 \leq e \leq 1) \quad (8)$$

また、 e は混合比である。

4. 数値解析例 本手法に対する解析例として図2のような水路に関する水深の変化を検討してみた。ただし、水路の平均水深は一様に1mである。そこで、水路を図2のように要素数1012、総節点数553に要素分割する。計算条件として、底質の粒径は0.2mm、空隙率は0.3とした。尚、今回の計算において、 U_0, v_0, ξ_0 は零として、静水状態より始めた。境界条件としては、入口A-Dの中心点において、 $U_1 = 1.0 \text{ m/s}$ とするような放物流を与え、境界A-B, C-Dでは流壁を零とした。図3, 図4は収束した状態の流況図と等深図である。図4において、堤防の左側、つまり上流側は大きく共掘され、下流側に堆積されていることが示されており、妥当な結果であると思われる。尚、以上の計算において、微小増分時間 $\Delta t = 0.2$ 秒、配分マトリックスの混合比は各方程式とも0.8である。

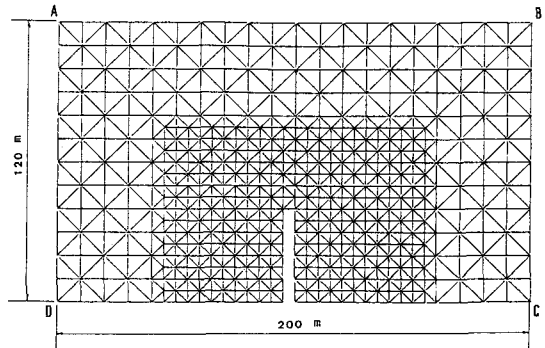


図2 要素分割図

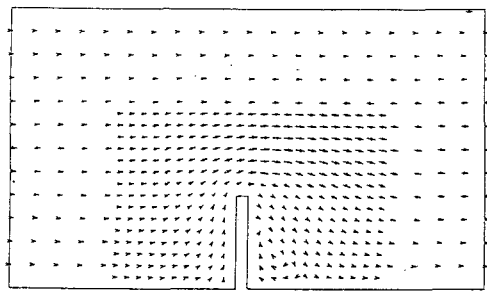


図3 流況図

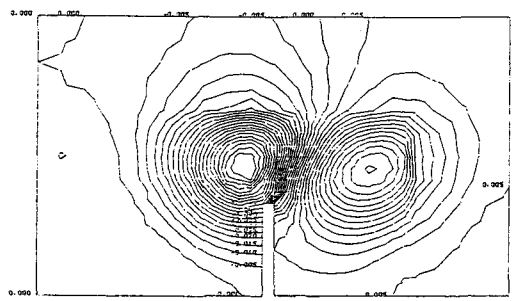


図4 等深図

5. 結言 有限要素法によって、水の流動とともに底質の移動も同時に解析できることが示された。また、有限要素法を用いた解析では、境界形状を任意に近似することができ、より正確な解析が期待できる。

参考文献

1) J.P. Lepetit, A. Hauguel : A Numerical Model for Sediment Transport, Marin Forecasting, Elsevier Oceanography Series 25, 453-463 Elsevier Scientific Publishing Company, 1979

2) M. Kawahara, H. Hirano, K. Tsubota, and K. Inagaki : Selective Lumping Finite Element Method for Shallow Water Flow, Int. Jour. Meth., Fluid, vol. 2, 89-112, 1981